

## CeF<sub>3</sub>-GdF<sub>3</sub>-Al<sub>2</sub>O<sub>3</sub>-Ga<sub>2</sub>O<sub>3</sub>-B<sub>2</sub>O<sub>3</sub> ガラスの光学およびシンチレーション特性

### Optical and scintillation properties of CeF<sub>3</sub>-GdF<sub>3</sub>-Al<sub>2</sub>O<sub>3</sub>-Ga<sub>2</sub>O<sub>3</sub>-B<sub>2</sub>O<sub>3</sub> glasses

奈良先端大<sup>1</sup>, 産総研<sup>2</sup>, °木村 大海<sup>1</sup>, 篠崎 健二<sup>2</sup>, 加藤 匠<sup>1</sup>,

中内 大介<sup>1</sup>, 河口 範明<sup>1</sup>, 柳田 健之<sup>1</sup>

NAIST<sup>1</sup>, AIST<sup>2</sup>, °Hiromi Kimura<sup>1</sup>, Kenji Shinozaki<sup>2</sup>,

Takumi Kato<sup>1</sup>, Daisuke Nakauchi<sup>1</sup>, Noriaki Kawaguchi<sup>1</sup>, Takayuki Yanagida<sup>1</sup>

E-mail: [kimura.hiromi.kf1@ms.naist.jp](mailto:kimura.hiromi.kf1@ms.naist.jp)

蛍光体の一種であるシンチレータは放射線のエネルギーを吸収し、瞬時に光子へと変換する機能を持つ素子である。シンチレータと光検出器を組み合わせることで放射線計測ができるため、医療やセキュリティなど幅広い分野で用いられている [1]。これまで製品化されているシンチレータの材料形態は主に単結晶が用いられており、ガラスの実用例は中性子検出用の Li ガラスのみである。一般的にガラスは単結晶と比較すると生産コストが低く、成型性が高いなど産業的な利点があるため、X・γ 線用シンチレータの開発が期待されている。そこで本研究では溶融急冷法により様々な濃度の Ce 添加 30GdF<sub>3</sub>-10Al<sub>2</sub>O<sub>3</sub>-20Ga<sub>2</sub>O<sub>3</sub>-50B<sub>2</sub>O<sub>3</sub> ガラスを作製し、光学およびシンチレーション特性を調査した。

Fig. 1 に Ce(1.0%)添加 GdF<sub>3</sub>-Al<sub>2</sub>O<sub>3</sub>-Ga<sub>2</sub>O<sub>3</sub>-B<sub>2</sub>O<sub>3</sub> ガラスのフォトルミネッセンス(PL)励起/発光マップを示す。330 nm 付近の励起下において Ce 添加ガラスは 370 nm 付近にプロードな発光を呈した。励起および発光スペクトルの形状は既報の Ce 添加酸フッ化物ガラスのものと類似していた [2]。Fig. 2 に Ce(0.1, 0.5, 1.0, 5.0, 10, 20, 30%)添加 GdF<sub>3</sub>-Al<sub>2</sub>O<sub>3</sub>-Ga<sub>2</sub>O<sub>3</sub>-B<sub>2</sub>O<sub>3</sub> ガラスの PL 減衰曲線を示す。全サンプルの減衰曲線は一成分の指數関数で再現良く近似でき、蛍光寿命は 22.6–27.9 ns であった。以上の結果から、発光起源は Ce<sup>3+</sup>の 5d→4f 遷移に起因すると考えられる [3]。本講演では Ce 添加 GdF<sub>3</sub>-Al<sub>2</sub>O<sub>3</sub>-Ga<sub>2</sub>O<sub>3</sub>-B<sub>2</sub>O<sub>3</sub> ガラスにおける光学およびシンチレーション特性の濃度依存性について報告する。

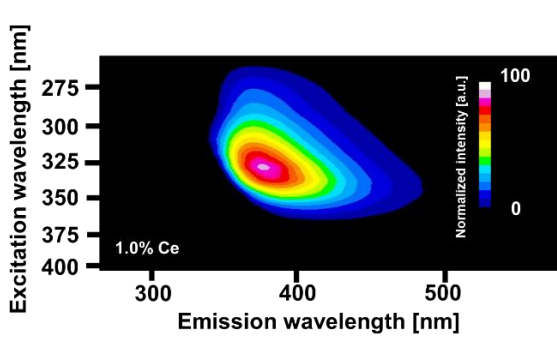


Fig. 1. PL excitation/emission map of the Ce (1.0%)-doped GdF<sub>3</sub>-Al<sub>2</sub>O<sub>3</sub>-Ga<sub>2</sub>O<sub>3</sub>-B<sub>2</sub>O<sub>3</sub> glass.

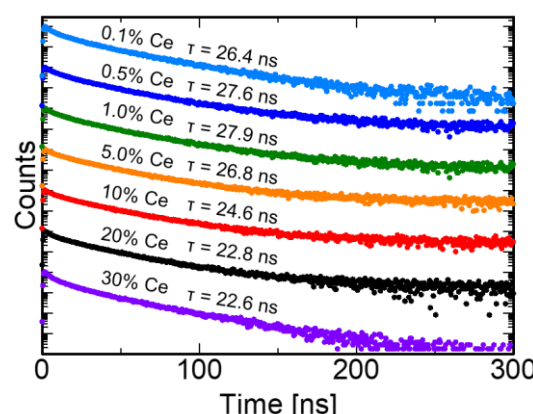


Fig. 2. PL decay curves of the Ce-doped GdF<sub>3</sub>-Al<sub>2</sub>O<sub>3</sub>-Ga<sub>2</sub>O<sub>3</sub>-B<sub>2</sub>O<sub>3</sub> glasses.

#### 参考文献

- [1] T. Yanagida, *et al.*, IEEE Trans. Nucl. Sci. **57** (2010) 1492–1495. [2] H. Kimura, *et al.*, J. Non. Cryst. Solids. **508** (2019) 46–50. [3] H. Samizo, *et al.*, Opt. Mater. **90** (2019) 64–69.